

## ВЫСОКОПРОДУКТИВНЫЕ МЕТОДЫ ИДЕНТИФИКАЦИИ ПАРАМЕТРОВ КОМПЕТИТИВНОЙ ДИФФУЗИИ В НЕОДНОРОДНЫХ СРЕДАХ НАНОПОРИСТЫХ ЧАСТИЦ

**Аннотация.** Рассмотрены вопросы создания высокопроизводительных методов идентификации путем построения малозатратных аналитических решений прямых и сопряженных задач. Построены явные выражения градиентов функционалов-невязок для идентификации параметров переноса в нанопористых средах при известных суммарных распределениях массы в твердой и газообразной фазах адсорбированных веществ. Приведены результаты численных экспериментов.

**Ключевые слова:** математическая модель, компетитивная диффузия, идентификация параметров, прямая и сопряженная задачи, градиентный метод, операционный метод Хевисайда, градиент функционала-невязки, неоднородная среда, нанопористые частицы.

### ВВЕДЕНИЕ

Применение математического моделирования к исследованию процессов массопереноса в нанопористых средах и материалах, широко используемых в различных областях (медицине, нефтехимии, космических технологиях и др.) позволяет создавать процессы, обеспечивающие высокое качество конечной продукции (степень очистки нефтепродуктов, питьевой воды и др.). Широкое внедрение современных компьютерных средств для исследования процессов в таких средах состоит не только в сложности построения адекватных математических моделей, но и в задании их параметров. Ранее в работах [6, 7, 15–18] рассматривались вопросы идентификации параметров задач массопереноса в нанопористых средах при известных распределениях масс вещества в твердой и газообразной фазах. Однако в силу сложности экспериментального разделения этих характеристик целесообразно использовать эффективные вычислительные алгоритмы идентификации параметров при известных суммарных массах в определенных направлениях зондирования исследуемых сред с использованием высокоскоростных аналитических методов с учетом наиболее существенных факторов кинетики переноса на макро- и микроуровне.

В настоящей статье рассматриваются вопросы создания высокопродуктивных методов идентификации путем построения малозатратных аналитических решений прямых и сопряженных задач и получения на их основе градиентов функционалов-невязок для идентификации параметров переноса в нанопористых средах при известных суммарных распределениях массы в твердой и газообразной фазах сорбируемых веществ.

### ДИФФЕРЕНЦИАЛЬНАЯ МОДЕЛЬ ИДЕНТИФИКАЦИИ СИСТЕМЫ КОМПЕТИТИВНОЙ ДИФФУЗИИ В НЕОДНОРОДНОЙ НАНОПОРИСТОЙ СРЕДЕ

Предлагаемая модель является аналогом бипористой модели [1–5]. Рассмотрим сложную систему компетитивного массопереноса двух диффундирующих компонент в неоднородной многослойной среде микрочастиц нанопористой структуры. Процессы диффузии в таких системах включают два типа массопереноса: диффузию в макропорах межчастичного пространства (intercrystallite space — межкристаллитное пространство) и диффузию в микро- и нанопорах частиц — кристаллитов (intracrystallite space — внутрикристаллитное пространство). Нанопорис-

тый слой толщиной  $l$  состоит из большого числа пористых частиц, рассматриваемых как микроструктуры сферической формы радиуса  $R$  ( $0 < R < l < \infty$ ), поглощающие компоненты адсорбата в газообразной фазе (рис. 1). Диффузия двух газов (бензола и гексана) осуществляется в осевом направлении  $z$  пространства макропор (от 1 до 0) и в радиальном пространстве микропор для каждой частицы (от  $R$  до 0). Рабочая нанопористая среда рассматривается как неоднородная, состоящая из  $N$  достаточно тонких слоев  $\Delta l_k = l_k - l_{k-1}$  частиц с разными свойствами, расположенными перпендикулярно осевому направлению диффузии. Примем следующие допущения:

- (i) градиенты концентраций в макропорах и микропорах эволюируют до наступления равновесия;
- (ii) тепловые эффекты незначительны;
- (iii) диффузия происходит согласно закону Генри;
- (iv) все нанопористые частицы имеют одинаковый размер и плотно упакованы в каждом слое среды [2, 3].

Предполагается, что коэффициенты компетитивной диффузии в межкристаллитном пространстве  $D_{\text{inter}_s}$  и внутрикристаллитном пространстве  $D_{\text{intra}_s}$ ,  $s=1, 2$ , являются неизвестными функциями. Математическая модель диффузии газов рассматриваемой нанопористой системы с учетом указанных физических факторов описана следующей начально-краевой задачей.

В областях  $\Omega_{m_T} = (0, T) \times \Omega_m$  ( $\Omega_m = (L_{m-1}, L_m)$ ,  $m=1, N+1, L_0 = 0 < L_1 < \dots < L_{N+1} = 1$ ) концентрации адсорбированных масс  $C_{s_m}(t, Z)$ ,  $Q_{s_m}(t, X, Z)$  с учетом подходов, изложенных в [3, 6], удовлетворяют системе уравнений в частных производных

$$\frac{\partial C_{s_m}(t, Z)}{\partial t} = \frac{D_{\text{inter}_{s_m}}}{l^2} \frac{\partial^2 C_{s_m}}{\partial Z^2} - e_{\text{inter}_m} K_{s_m} \left. \frac{D_{\text{intra}_{s_m}}}{R^2} \left( \frac{\partial Q_{s_m}}{\partial X} \right) \right|_{X=1}, \quad (1)$$

$$\frac{\partial Q_{s_m}(t, X, Z)}{\partial t} = \frac{D_{\text{intra}_{s_m}}}{R^2} \left( \frac{\partial^2 Q_{s_m}}{\partial X^2} + \frac{2}{X} \frac{\partial Q_{s_m}}{\partial X} \right). \quad (2)$$

Начальные условия:

$$C_{s_m}(t=0, Z) = 0; Q_{s_m}(t=0, X, Z) = 0; X \in (0, 1), Z \in \Omega_m, m = \overline{1, N+1}, \quad (3)$$

краевые и интерфейсные условия для концентрации массы переноса  $C$ :

$$C_{s_1}(t, L_1) = 1, \frac{\partial C_{s_1}}{\partial Z}(t, Z=0) = 0, t \in (0, T); \quad (4)$$

$$[C_{s_m}(t, Z) - C_{s_{m-1}}(t, Z)]_{Z=L_m} = 0, \\ \frac{\partial}{\partial Z} [D_{\text{inter}_{s_{m-1}}} C_{s_{m-1}}(t, Z) - D_{\text{inter}_{s_m}} C_{s_m}(t, Z)]_{Z=L_m} = 0, m = \overline{1, N}, t \in (0, T). \quad (5)$$

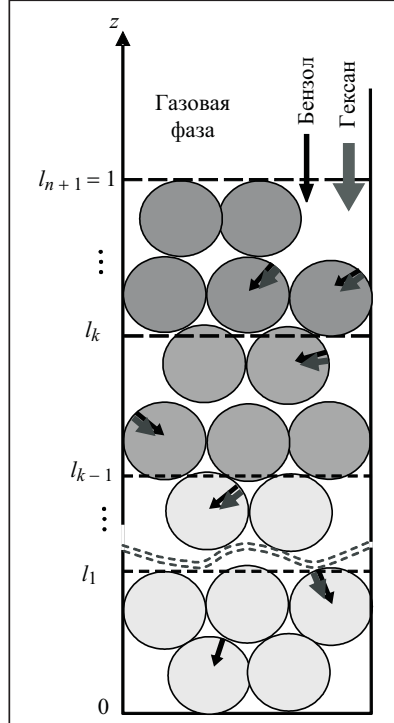


Рис. 1. Схема компетитивной диффузии в неоднородной среде нанопористых частиц

Краевые условия в каждой точке  $(t, Z) \subset \Omega_{m_T}$  для концентрации  $Q$  по радиусу частицы:

$$\begin{aligned} \frac{\partial}{\partial X} Q_{s_m}(t, X=0, Z) &= 0, \quad Q_{s_m}(t, X=1, Z) = C_{s_m}(t, Z), \\ t \in (0, T), \quad Z \in \Omega_m, \quad m &= \overline{1, N+1}. \end{aligned} \quad (6)$$

Уравнение (1) описывает массоперенос в пространстве макропор, уравнение (2) определяет диффузию веществ в пространстве микропор сферических составляющих частиц радиусом  $R$  с центром в точке  $Z \in \Omega_m$ ,  $m = \overline{1, N+1}$ .

На поверхностях наблюдений известны следующие суммарные распределения масс:

$$[C_{s_m}(t, Z) + \bar{Q}_{s_m}(t, Z)] \Big|_{\gamma_m} = M_{s_m}(t, Z) \Big|_{\gamma_m}, \quad s = \overline{1, 2}, \quad \gamma_m \in \Omega_m, \quad t \in (0, T). \quad (7)$$

**Выбор функционала-невязки.** Функционал-невязку, который минимизирует отклонение модельного решения от значений экспериментального следа на  $\gamma_m \in \Omega_m$ , запишем в виде

$$\begin{aligned} J_s(D_{\text{inter}_{s_m}}, D_{\text{intra}_{s_m}}) &= \frac{1}{2} \int_0^T [C_{s_m}(\tau, Z, D_{\text{inter}_{s_m}}, D_{\text{intra}_{s_m}}) + \\ &+ \bar{Q}_{s_m}(\tau, Z, D_{\text{inter}_{s_m}}, D_{\text{intra}_{s_m}}) - M_{s_m}(\tau, Z)]_{\gamma_m}^2 d\tau, \quad \gamma_m \in \Omega_m, \quad m = \overline{1, N+1}. \end{aligned} \quad (8)$$

В результате имеем задачу идентификации (1)–(7), состоящую в нахождении неизвестных функций  $D_{\text{intra}_s} \in \Omega_T$ ,  $D_{\text{inter}_s} \in \Omega_T$  ( $D_{\text{intra}_s} > 0$ ,  $D_{\text{inter}_s} > 0$ ,  $s = \overline{1, 2}$ ).

Адсорбированные массы  $C_{s_m}(t, Z) + \bar{Q}_{s_m}(t, Z)$  удовлетворяют условиям (7) для каждой поверхности наблюдения  $\gamma_m \subset \Omega_m$  каждого  $m$ -го сегмента нанопористой среды [17, 22, 8]. Здесь  $Z = z / \ell$ ,  $X = r / R$ ,  $C = c / c_\infty$ ,  $Q = q / q_\infty$ ;

$$e_{\text{inter}_m} = \frac{\varepsilon_{\text{inter}_m}}{(1 - \varepsilon_{\text{inter}_m}) K_{s_m}}; \quad e_{\text{intra}_m} = 1 - e_{\text{inter}_m}; \quad K_{s_m} = \frac{q_{s_m \infty}}{c_{s_m \infty}}; \quad \bar{Q}_s(t, Z) = \int_0^1 Q_s(t, X, Z) X dX —$$

усредненная величина по радиусу частицы для  $s$ -й адсорбируемой компоненты ( $s = \overline{1, 2}$ ) в микропорах;  $M_s(t, Z) \Big|_{\gamma_m}$  — вектор экспериментальных данных

(распределение адсорбированной массы в макро- и микропорах) на поверхности наблюдения  $\gamma_m \subset \Omega_m$  (результаты NMR-анализа) [4];  $c_s$ ,  $q_s$  — концентрации адсорбатов в макро- и микропорах для  $s$ -й компоненты,  $s = \overline{1, 2}$ ;  $D_{\text{inter}_s}$ ,  $D_{\text{intra}_s}$  — коэффициенты диффузии в макро- и микропорах;  $K_s$  — константа адсорбционного равновесия,  $\varepsilon_{\text{inter}}$  — пористость;  $e_{\text{inter}}$  — коэффициент пористости;  $R$  — радиус частицы;  $\ell$  — толщина рабочей области (слоя).

**Постановка задачи в функциях  $C$  и  $N$ .** Подстановка  $N = XQ$  в (1)–(7) определяет задачу

$$\frac{\partial C_{s_m}(t, Z)}{\partial t} = \frac{D_{\text{inter}_{s_m}}}{l^2} \frac{\partial^2 C_{s_m}}{\partial Z^2} - e_{\text{inter}_m} K_{s_m} \frac{D_{\text{intra}_{s_m}}}{R^2} \left( \frac{1}{X} \frac{\partial N_{s_m}}{\partial X} - \frac{1}{X^2} N_{s_m} \right) \Bigg|_{X=1},$$

$$\frac{\partial N_{s_m}(t, X, Z)}{\partial t} = \frac{D_{\text{intra}_{s_m}}}{R^2} \frac{\partial^2 N_{s_m}}{\partial X^2}$$

с начальными условиями

$$C_{s_m}(t=0, Z) = 0; \quad N_{s_m}(t=0, X, Z) = 0; \quad X \in (0, 1), \quad Z \in \Omega_m, \quad m = \overline{1, N+1},$$

краевыми и интерфейсными условиями для координаты  $Z$  (4) и радиуса  $X$

$$N_{s_m}(t, X=0, Z)=0, \quad N_{s_m}(t, X=1, Z)=C_{s_m}(t, Z), \quad t \in (0, T), \quad Z \in \Omega_m, \quad m=\overline{1, N+1},$$

и дополнительным условием наблюдения (7).

**Проблема разрешимости задачи идентификации (1)–(7).** Задача коэффициентной идентификации диффузии в неоднородной нанопористой среде является сложной проблемой с определенными трудностями получения корректной постановки и построения единственного аналитического решения в силу влияния множества факторов (сложности учета влияющих параметров и физических эффектов, неполноты экспериментальных данных, погрешностей их измерений и др.). Согласно принципу регуляризации А.Н. Тихонова [12], развитого Ж.-Л. Лионсом [13], а также И.В. Сергиенко и В.С. Дайнекой [8, 19], подобные задачи идентификации требуют пошагового уточнения решения по результатам экспериментальных наблюдений, минимизируя отклонения между модельными и экспериментальными значениями искомых физических параметров. Настоящая работа является обобщением подходов, изложенных нами в [3, 6, 7, 15–18]. Она позволяет уменьшить число итераций на 2–3 порядка для каждого цикла регуляризации и эффективно использовать такие подходы для более сложных систем и одновременного восстановления трех и более параметров.

**Градиентный метод решения задачи коэффициентной идентификации.** Решение задачи идентификации (1)–(7) сводится к задаче оптимизации функционала-невязки (8), постепенно совершенствуя решение посредством особой процедуры регуляризации с использованием высокоеффективных и скоростных градиентных методов. Градиентные методы в задачах идентификации на основе среднеквадратического функционала-невязки (цели, ошибки и т.д.) нашли практическое применение в работах Ж.-Л. Лионса [13], позже этот подход получил развитие в работах О.М. Алифанова (расчет температурных полей летательных аппаратов) [14] и работах авторов (задачи гидромеханики, фильтрации, диффузии и адсорбции и др.) [6, 15–17].

Следуя [8, 19] и используя градиентный метод минимизации погрешности для идентификации распределений коэффициентов диффузии во внутрекристаллитном  $D_{\text{intra}_{s_m}}$  и межкристаллитном  $D_{\text{inter}_{s_m}}$  пространствах как функций от времени для  $s$ -й диффундируемой компоненты, получаем регуляризационные выражения для  $(n+1)$ -го шага идентификации:

$$\begin{aligned} D_{\text{intra}_{s_m}}^{n+1}(t) &= D_{\text{intra}_{s_m}}^n(t) - \nabla J_{D_{\text{intra}_{s_m}}}^n(t) \times \\ &\times \frac{\left[ C_{s_m}(D_{\text{inter}_{s_m}}^n, D_{\text{intra}_{s_m}}^n; t, \gamma_m) + \left( \frac{1}{X} \right) \right]_{X=1/2} N_{s_m} \left( D_{\text{inter}_{s_m}}^n, D_{\text{intra}_{s_m}}^n; t, \frac{1}{2}, \gamma_m \right) - M_{s_m}(t) \right]^2}{||\nabla J_{D_{\text{intra}_{s_m}}}^n(t)||^2 + ||\nabla J_{D_{\text{inter}_{s_m}}}^n(t)||^2}, \\ &t \in (0, T); \\ D_{\text{inter}_{s_m}}^{n+1}(t) &= D_{\text{inter}_{s_m}}^n(t) - \nabla J_{D_{\text{inter}_{s_m}}}^n(t) \times \\ &\times \frac{\left[ C_{s_m}(D_{\text{inter}_{s_m}}^n, D_{\text{intra}_{s_m}}^n; t, \gamma_m) + \left( \frac{1}{X} \right) \right]_{X=1/2} N_{s_m} \left( D_{\text{inter}_{s_m}}^n, D_{\text{intra}_{s_m}}^n; t, \frac{1}{2}, \gamma_m \right) - M_{s_m}(t) \right]^2}{||\nabla J_{D_{\text{intra}_{s_m}}}^n(t)||^2 + ||\nabla J_{D_{\text{inter}_{s_m}}}^n(t)||^2}, \\ &t \in (0, T), \end{aligned} \tag{9}$$

где  $J_s(D_{\text{inter}_{s_m}}, D_{\text{intra}_{s_m}})$  — модифицированный функционал-невязка на поверхности  $\gamma_m \in \Omega_m$ :

$$J_s(D_{\text{inter}_{s_m}}, D_{\text{intra}_{s_m}}) = \frac{1}{2} \int_0^T \left[ C_{s_m}(\tau, Z, D_{\text{inter}_{s_m}}, D_{\text{intra}_{s_m}}) + \right. \\ \left. + \left( \frac{1}{X} \right) \Big|_{X=1/2} N_{s_m} \left( t, Z, D_{\text{inter}_{s_m}}, \frac{1}{2}, D_{\text{intra}_{s_m}} \right) - M_{s_m}(t) \right]_{\gamma_m}^2 d\tau, \quad \gamma_m \in \Omega_m, \quad m = \overline{1, N+1},$$

$\nabla J_{D_{\text{intra}_{s_m}}}^n(t), \quad \nabla J_{D_{\text{inter}_{s_m}}}^n(t)$  — компоненты градиента функционала-невязки

$$J(D_{\text{inter}_{s_m}}, D_{\text{intra}_{s_m}}) \quad \text{для функций } D_{\text{intra}_s} \in \Omega_T, \quad D_{\text{inter}_s} \in \Omega_T, \quad \| \nabla J_{D_u}^n(t) \|^2 = \\ = \int_0^T [\nabla J_{D_u}^n(t)]^2 dt \quad \text{квадрат нормы градиента функционала-невязки.}$$

### ПРЯМАЯ ЗАДАЧА ФУНКЦИОНАЛЬНОЙ ИДЕНТИФИКАЦИИ

Точное аналитическое решение прямой задачи (1)–(6) (для моделирования концентраций без учета условия (7) в допущении, что известны коэффициенты  $D_{\text{intra}_{s_m}}, D_{\text{inter}_{s_m}}$ ) строится с использованием операционного метода Хевисайда в [7].

Для получения возможности идентифицировать параметры компетитивной диффузии (коэффициенты  $D_{\text{intra}_{s_m}}, D_{\text{inter}_{s_m}}$ ) как функции от времени с использованием объемной базы экспериментальных данных пошарового NMR-сканирования рассмотрим трансформированную задачу (1)–(7) в виде системы  $N+1$  краевых задач идентификации  $D_{\text{intra}_{s_m}}, D_{\text{inter}_{s_m}}$  в каждой точке  $Z$  для каждого фрагмента  $\Omega_m, m = \overline{1, N+1}$ , [17]

$$\frac{\partial C_{s_m}(t, Z)}{\partial t} = \frac{D_{\text{inter}_{s_m}}}{l^2} \frac{\partial^2 C_{s_m}}{\partial Z^2} - e_{\text{inter}_m} K_{s_m} \frac{D_{\text{intra}_{s_m}}}{R^2} \left( \frac{1}{X} \frac{\partial N_{s_m}}{\partial X} - \frac{1}{X^2} N_{s_m} \right) \Big|_{X=1}, \quad (10)$$

$$\frac{\partial N_{s_m}(t, X, Z)}{\partial t} = \frac{D_{\text{intra}_{s_m}}}{R^2} \frac{\partial^2 N_{s_m}}{\partial X^2}, \quad s = \overline{1, 2}, \quad m = \overline{N+1, 1}, \quad (11)$$

с начальными условиями

$$C_{s_m}(t=0, Z)=0; \quad N_{s_m}(t=0, X, Z)=0; \quad X \in (0, 1), \quad Z \in \Omega_m, \quad m = \overline{1, N+1}, \quad (12)$$

краевыми условиями для каждого  $m$ -го слоя

$$C_{s_m}(t, Z=L_m) = \theta_{s_m}, \\ C_{s_{m-1}}(t, Z=L_{m-1}) = \theta_{s_{m-1}}; \quad s = \overline{1, 2}, \quad m = \overline{N+1, 2}, \quad \theta_{s_{N+1}} = 1, \quad (13)$$

$$C_{s_1}(t, L_1) = \theta_{s_1}, \quad \frac{\partial C_{s_1}}{\partial Z}(t, Z=0) = 0, \quad (14)$$

краевыми условиями для отдельной частицы

$$N_{s_m}(t, X=0, Z)=0, \quad N_{s_m}(t, X=1, Z)=C_{s_m}(t, Z), \quad Z \in \Omega_m, \quad m = \overline{1, N+1}, \quad (15)$$

$\Delta = L_m - L_{m-1}, m = \overline{1, N+1}$ ,  $\theta_m$  — экспериментальный след  $C_{s_m}(t)$  на сегментах,  $\Delta\theta_m = \theta_m - \theta_{m-1}, m = \overline{1, N+1}$ .

**Аналитическое решение прямой задачи идентификации (10)–(15).** Для нахождения аналитического решения прямой задачи (10)–(15), задаваемого функция-

ми  $C_{s_m}$  и  $N_{s_m}$ , используем операционный метод Хевисайда [11, 10]. В предположении, что искомые функции  $C_{s_m}$  и  $N_{s_m}$  ( $N_{s_m} = X \cdot Q_{s_m}$ ), как распределения концентраций от времени и координат, являются оригиналами по Лапласу [11]:

$$C_{s_m}^*(p, Z) = \int_0^\infty C_{s_m}(t, Z) \exp(-pt) dt, \quad N_{s_m}^*(p, X, Z) = \int_0^\infty N_{s_m}(t, X, Z) \exp(-pt) dt \quad (16)$$

где  $p$  — комплекснозначный параметр преобразования Лапласа, получим

$$\frac{\partial^2 C_{s_m}^*}{\partial Z^2} = \frac{\Delta L^2}{D_{\text{inter}_{s_m}}} p C_{s_m}^* + \frac{3}{e_{\text{inter}_m}} \frac{\Delta L^2}{R^2} \frac{D_{\text{intra}_{s_m}}}{D_{\text{inter}_{s_m}}} \left( \frac{\partial N_{s_m}^*}{\partial X} - N_{s_m}^* \right) \Big|_{X=1}, \quad (17)$$

$$\frac{\partial^2 N_{s_m}^*}{\partial X^2} = \frac{R^2}{D_{\text{intra}_{s_m}}} p N_{s_m}^*. \quad (18)$$

Краевые условия для  $m$ -го слоя составляют

$$C_{s_m}^*(p, Z = L_m) = \frac{1}{P} \theta_{s_m}, \quad (19)$$

$$C_{s_{m-1}}^*(p, Z = L_{m-1}) = \frac{1}{p} \theta_{s_{m-1}}; \quad s = \overline{1, 2}, \quad m = \overline{N+1, 2}, \quad \theta_{s_{N+1}} = 1, \quad (19)$$

$$C_{s_1}^*(p, L_1) = \frac{1}{p} \theta_{s_1}, \quad \frac{\partial C_{s_1}^*}{\partial Z}(p, Z = 0) = 0; \quad (20)$$

краевые условия для частицы составляют

$$N_{s_m}^*(p, X = 1, Z) = C_{s_m}^*(Z), \quad \frac{\partial^2 N_{s_m}^*(p, X = 0, Z)}{\partial X^2} = 0. \quad (21)$$

Решение задачи уравнения (18)–(21) имеет вид [9]

$$N_{s_m}^*(p, X, Z) = C_{s_m}^*(p, Z) \frac{\operatorname{sh} \left( R \sqrt{\frac{p}{D_{\text{intra}_{s_m}}}} X \right)}{\operatorname{sh} \left( R \sqrt{\frac{p}{D_{\text{intra}_{s_m}}}} \right)}, \quad s = \overline{1, 2}, \quad m = \overline{1, N+1}, \quad (22)$$

$$C_{s_m}^*(p, Z) = \frac{1}{p \cdot \operatorname{sh} [\gamma_{s_m}(p) \Delta L]} (\theta_{s_m} \operatorname{sh} [\gamma_{s_m}(p)(Z - L_{m-1})] + \theta_{s_{m-1}} \operatorname{sh} [\gamma_{s_m}(p)(L_m - Z)]), \quad m = \overline{N+1, 2},$$

$$C_{s_1}^*(p, Z) = \frac{\theta_{s_1}}{p} \frac{\operatorname{ch} [\gamma_{s_1}(p) Z]}{\operatorname{ch} [\gamma_{s_1}(p) \Delta L]}, \quad m = 1, \quad (23)$$

$$\text{где } \gamma_{s_m}^2(p) = \frac{3}{e_{\text{inter}_m}} \frac{\Delta L^2}{R^2} \frac{D_{\text{intra}_{s_m}}}{D_{\text{inter}_{s_m}}} \left( \frac{e_{\text{inter}_m}}{3} \frac{R^2}{D_{\text{intra}_{s_m}}} p + R \sqrt{\frac{p}{D_{\text{intra}_{s_m}}}} \operatorname{cth} \left( R \sqrt{\frac{p}{D_{\text{intra}_{s_m}}}} \right) - 1 \right).$$

Используя теорему Хевисайда о разложении в ряд изображений по Лапласу (23) по корням знаменателя и выполняя подстановку  $p = -D_{\text{intra}_{s_m}} \beta^2 / R^2$ , получаем формулы обращения к оригиналам указанных изображений [11]:

$$C_{s_m}(t, Z) = 1 + \sum_{n=1}^{\infty} \sum_{k=1}^{\infty} \frac{\theta_{s_m} \operatorname{sh} [\gamma_{s_m}(p_{kn})(Z - L_{m-1})] + \theta_{s_{m-1}} \operatorname{sh} [\gamma_{s_m}(p_{kn})(L_m - Z)]}{p_{kn} \frac{d}{ds} \operatorname{sh} [\gamma_{s_m}(p) \Delta L] \Big|_{p=p_{kn}=-\frac{D_{\text{intra}_{s_m}} \beta_{kn}^2}{R^2}}} \exp(p_{kn} t),$$

$$m = \overline{2, N+1},$$

$$C_{s_1}(t, Z) = 1 + \sum_{n=1}^{\infty} \sum_{k=1}^{\infty} \frac{\operatorname{ch} [\gamma_{s_1}(p_{kn}) Z] \exp(p_{kn} t)}{p_{kn} \frac{d}{dp} \operatorname{ch} [\gamma_{s_1}(p) \Delta L] \Big|_{p=p_{kn}=-\frac{D_{\text{intra}_{s_1}} \beta_{kn}^2}{R^2}}},$$

где  $\beta_{kn_1}, \beta_{kn_m}, m = \overline{2, \infty}$ , — корни соответствующих трансцендентных уравнений,

$$\gamma_{s_1}^2(\beta) \equiv \frac{3}{e_{\text{inter}_1}} \frac{\Delta L^2}{R^2} \frac{D_{\text{intra}_{s_1}}}{D_{\text{inter}_{s_1}}} \left( \frac{e_{\text{inter}_1}}{3} \beta^2 - \beta \operatorname{ctg} \beta + 1 \right) = \frac{2n-1}{2\Delta L} \pi, \quad n, k = \overline{1, \infty},$$

$$\gamma_{s_m}^2(\beta) \equiv \frac{3}{e_{\text{inter}_m}} \frac{\Delta L^2}{R^2} \frac{D_{\text{intra}_{s_m}}}{D_{\text{inter}_{s_m}}} \left( \frac{e_{\text{inter}_{s_m}}}{3} \beta^2 - \beta \operatorname{ctg} \beta + 1 \right) = \frac{n\pi}{\Delta L},$$

$$n = \overline{0, \infty}, \quad k = \overline{1, \infty}, \quad m = \overline{2, N+1}.$$

После преобразований получаем

$$C_{s_m}(t, Z) = 1 + \frac{2\pi}{\Delta L} \frac{R^2}{D_{\text{intra}_{s_m}}} \frac{D_{\text{inter}_{s_m}}}{\Delta L^2} \times$$

$$\times \sum_{n=1}^{\infty} \sum_{k=1}^{\infty} \frac{\omega_{s_m}(n, Z) \exp \left( -\frac{D_{\text{intra}_{s_m}} \beta_{kn_m}^2}{R^2} t \right)}{(-1)^n \beta_{kn_m}^2 \left( \frac{3}{e_{\text{inter}_m}} \left( \frac{1}{\sin^2(\beta_{kn_m})} - \frac{\operatorname{ctg}(\beta_{kn_m})}{\beta_{kn_m}} \right) + 2 \right)},$$

$$\omega_{s_m}(n, Z) = \begin{cases} (2n-1) \cos \left( \frac{2n-1}{2} \pi Z \right), & m = 1, \\ n \left( \theta_{s_m} \sin \left[ \frac{n\pi}{\Delta L} (Z - L_{m-1}) \right] + \theta_{s_{m-1}} \sin \left[ \frac{n\pi}{\Delta L} (L_m - Z) \right] \right), & m > 1. \end{cases}$$

Преобразовав формулу (22) к виду

$$N_{s_m}^*(p, X, Z) = C_{s_m}^*(p, Z) \frac{\sin(\beta X)}{\sin(\beta)} \left( i\beta = R \sqrt{\frac{p}{D_{\text{intra}_{s_m}}}}, \quad \beta^2 = -\frac{R^2}{D_{\text{intra}_{s_m}}} p \right), \quad m = \overline{1, N+1},$$

с учетом теоремы Хевисайда о разложении в ряд получаем формулы оригиналов по Лапласу функции  $N_{s_m}^*(p, X, Z)$  [3, 11]:

$$N_{s_m}(t, X, Z) = 1 + \frac{2\pi}{\Delta L} \frac{R^2}{D_{\text{intra}_{s_m}}} \frac{D_{\text{inter}_{s_m}}}{\Delta L^2} \times$$

$$\times \sum_{n=1}^{\infty} \sum_{k=1}^{\infty} \frac{\omega_{s_m}(n, Z) \exp \left( -\frac{D_{\text{intra}_{s_m}} \beta_{kn_m}^2}{R^2} t \right) \cdot \sin(\beta_{kn_m} X)}{(-1)^n \beta_{kn_m}^2 \sin(\beta_{kn_m}) \left( \frac{3}{e_{\text{inter}_m}} \left( \frac{1}{\sin^2(\beta_{kn_m})} - \frac{\operatorname{ctg}(\beta_{kn_m})}{\beta_{kn_m}} \right) + 2 \right)}.$$

## СОПРЯЖЕННАЯ ЗАДАЧА И ТЕХНОЛОГИЯ ПОЛУЧЕНИЯ АНАЛИТИЧЕСКИХ ВЫРАЖЕНИЙ ГРАДИЕНТОВ ФУНКЦИОНАЛА-НЕВЯЗКИ

**Построение расширенного функционала.** Перейдем к безусловной экстремальной форме рассматриваемой задачи идентификации, вводя расширенный функционал [19]

$$\Phi(D_{\text{inter}_{s_m}}, D_{\text{intra}_{s_m}}) = J_s + I_{s_1} + I_{s_2}, \quad s = \overline{1, 2},$$

где  $I_{s_1}, I_{s_2}$  — составляющие, учитывающие специфику основных уравнений баланса (10) и (11) соответственно для выходной задачи идентификации (10)–(15):

$$I_{s_1} = \int_0^T \int_{L_{m-1}}^{L_m} \phi_{s_m}(t, Z) \left( \frac{\partial C_{s_m}}{\partial t} - \frac{D_{\text{inter}_{s_m}}}{l^2} \frac{\partial^2 C_{s_m}}{\partial Z^2} + \right. \\ \left. + e_{\text{inter}_m} K_{s_m} \frac{D_{\text{intra}_{s_m}}}{R} \left( \frac{\partial Q(t, X, Z)}{\partial X} \Big|_{s_m} \right) \right|_{X=1} \right) dZ dt, \\ I_{s_2} = \int_0^T \int_0^1 \int_{L_{m-1}}^{L_m} \psi_{s_m}(t, X, Z) \left( \frac{\partial Q_{s_m}(t, X, Z)}{\partial t} - \frac{D_{\text{intra}_{s_m}}}{R^2} \left( \frac{\partial^2 Q_{s_m}}{\partial X^2} + \frac{2}{X} \frac{\partial Q_{s_m}}{\partial X} \right) \right) X dX dZ dt.$$

Функционал-невязка  $J_s$  определяется формулой (9),  $\phi_{s_m}, \psi_{s_m}, s = \overline{1, 2}$ , — неизвестные множители Лагранжа, подлежащие определению [19], из условия стационарности функционала  $\Phi(D_{\text{inter}_{s_p}}, D_{\text{intra}_{s_p}})$  (равенства нулю его полной вариации) [8, 14]:

$$\Delta \Phi(D_{\text{inter}_{s_m}}, D_{\text{intra}_{s_m}}) \equiv \Delta J_s + \Delta I_{s_1} + \Delta I_{s_2} = 0, \quad s = \overline{1, 2}. \quad (24)$$

Вычисление отдельных членов в (24) осуществляем в предположении, что величины  $D_{\text{inter}_{s_m}}, D_{\text{intra}_{s_m}}$  получили приращения  $\Delta D_{\text{inter}_{s_m}}, \Delta D_{\text{intra}_{s_m}}$ . В результате концентрации  $C_{s_m}(t, Z)$  изменяются на некоторые приращения величин

$\Delta C_{s_m}(t, Z)$  ( $v_{s_m}(t, Z)$ ), а концентрации  $Q_{s_m}(t, X, Z)$  — на величины  $\Delta Q_{s_m}(t, X, Z)$  ( $w_{s_m}(t, X, Z)$ ),  $s = \overline{1, 2}$ .

**Постановка начально-краевой задачи в приращениях.** Подставляя в исходную начально-краевую задачу (1)–(6) вместо  $D_{\text{inter}_{s_p}}, D_{\text{intra}_{s_p}}$  и  $C_{s_m}(t, Z)$ ,  $Q_{s_m}(t, X, Z)$  соответствующие величины с приращениями  $D_{\text{inter}_{s_p}} + \Delta D_{\text{inter}_{s_p}}$ ,

$D_{\text{intra}_{s_p}} + \Delta D_{\text{intra}_{s_p}}$  и  $C_{s_m}(t, Z) + \Delta C_{s_m}(t, z)$ ,  $Q_{s_m}(t, X, Z) + \Delta Q_{s_m}(t, X, Z)$  и вычитая из преобразованных уравнений и условий задачи соответствующие компоненты уравнений и условий задачи (1)–(6), пренебрегая членами второго порядка малости, получаем постановку начально-краевой задачи в приращениях для определения величин  $\Delta C_{s_m}(t, Z)$  ( $v_{s_m}(t, Z)$ ) и  $\Delta Q_{s_m}(t, X, Z)$  ( $w_{s_m}(t, X, Z)$ ),  $s = \overline{1, 2}$ :

$$\frac{\partial}{\partial t} \Delta C_{s_m}(t, Z) = \frac{\partial}{\partial Z} \left( D_{\text{inter}_{s_m}} \frac{\partial}{\partial Z} \Delta C_{s_m} \right) - e_{\text{inter}_m} \frac{D_{\text{intra}_{s_m}}}{R} \frac{\partial}{\partial X} \Delta Q_{s_m}(t, X, Z) \Big|_{X=1} + \\ + \frac{\partial}{\partial Z} \left( \Delta D_{\text{inter}_{s_m}} \frac{\partial}{\partial Z} C_{s_m} \right) - e_{\text{inter}_m} \frac{D_{\text{intra}_{s_m}}}{R} \frac{\partial}{\partial X} Q_{s_m}(t, X, Z) \Big|_{X=1}, \\ (X, Z) \in (0, 1) \cup \Omega_m, \quad m = \overline{1, n+1}; \quad (25)$$

$$\begin{aligned} \frac{\partial}{\partial t} \Delta Q_{s_m}(t, X, Z) &= \frac{D_{\text{intra}_{s_m}}}{R^2} \left( \frac{\partial^2}{\partial X^2} + \frac{2}{X} \frac{\partial}{\partial X} \right) \Delta Q_{s_m} + \\ &+ \frac{\Delta D_{\text{intra}_{s_m}}}{R^2} \left( \frac{\partial^2}{\partial X^2} + \frac{2}{X} \frac{\partial}{\partial X} \right) Q_{s_m}, \quad m = \overline{1, n+1}; \end{aligned} \quad (26)$$

$$\Delta C_{s_m}(t, Z) \Big|_{t=0} = 0, \quad \Delta Q_{s_m}(t, X, Z) \Big|_{t=0} = 0, \quad X \in (0, 1), \quad Z \in \Omega_m, \quad m = \overline{1, n+1}; \quad (27)$$

$$\frac{\partial}{\partial X} \Delta Q_{s_m}(t, X, Z) \Big|_{X=0} = 0, \quad \Delta Q_{s_m}(t, X, z) \Big|_{X=1} = \Delta C_{s_m}(t, Z),$$

$$Z \in \Omega_m, \quad m = \overline{1, n+1}, \quad t \in (0, T),$$

$$\Delta C_{s_m}(t, Z = L_m) = 0, \quad \Delta C_{s_{m-1}}(t, Z = L_{m-1}) = 0; \quad s = \overline{1, 2}, \quad m = \overline{N+1, 2},$$

$$\Delta C_{s_1}(t, Z) \Big|_{Z=L_1} = 0, \quad \frac{\partial}{\partial Z} C_{s_1}(t, Z) \Big|_{Z=0} = 0. \quad (28)$$

**Вычисление приращений расширенного функционала.** В предположении, что искомые вектор-функции  $(C_{s_m}(t, Z) + \Delta C_{s_m}(t, z), Q_{s_m}(t, X, Z) + \Delta Q_{s_m}(t, X, Z))$  получили приращения (вариации) по всем составляющим расширенного функционала  $\Phi(D_{\text{inter}_{s_m}}, D_{\text{intra}_{s_m}})$ , пренебрегая членами второго порядка малости, определяем:

— приращение функционала-невязки (9):

$$\begin{aligned} \Delta J_s(D_{\text{inter}_{s_m}}, D_{\text{intra}_{s_m}}) &= \int_0^T \int_{L_{m-1}}^{L_m} E_{s_m}(t) \delta(Z - \gamma_m) (\Delta C_{s_m}(t) + \Delta \bar{Q}_{s_m}(t)) dZ dt + \\ &+ O(\max_m |\Delta C_{s_m}, \Delta \bar{Q}_{s_m}|), \end{aligned} \quad (29)$$

$$\text{где } E_{s_m}(t) = C_{s_m}(D_{\text{intra}_{s_m}}, D_{\text{inter}_{s_m}}; t, \gamma_m) + \bar{Q}_{s_m}(D_{\text{intra}_{s_m}}, D_{\text{inter}_{s_m}}; t, \gamma_m) - M_{s_m}(t);$$

— приращения составляющих функционала  $I_{s_1}, I_{s_2}$  (в результате интегрирования по частям с использованием начальных и краевых условий прямой задачи (1)–(6)):

$$\begin{aligned} \Delta I_{s_1} &= \int_0^T \int_{L_{m-1}}^{L_m} \left( \frac{\partial \phi_{s_m}(t, Z)}{\partial t} + \frac{D_{\text{inter}_{s_m}}}{l^2} \frac{\partial^2 \phi_{s_m}}{\partial Z^2} + \right. \\ &\left. + e_{\text{inter}_m} K_{s_m} \frac{D_{\text{intra}_{s_m}}}{R} \frac{\partial \psi_{s_m}(t, X, Z)}{\partial X} \Big|_{X=1} \right) \Delta C_{s_m} dZ dt, \end{aligned} \quad (30)$$

$$\Delta I_{s_2} = \int_0^T \int_{L_{m-1}}^{L_m} \int_0^1 \left( \frac{\partial \psi_{s_m}(t, X, Z)}{\partial t} + \frac{D_{\text{intra}_{s_m}}}{R^2} \left( \frac{\partial^2}{\partial X^2} + \frac{2}{X} \frac{\partial}{\partial X} \right) \psi_{s_m} \right) \Delta Q_{s_m} X dX dZ dt. \quad (31)$$

**Постановка сопряженной краевой задачи.** В соответствии с исходной начально-краевой задачей (1)–(6) с учетом (24) и (29)–(31) для каждого приближения  $D_{\text{intra}_{s_m}}^n, D_{\text{inter}_{s_m}}^n$  решения  $D_{\text{intra}_{s_m}}, D_{\text{inter}_{s_m}}$  получаем постановку сопряженной краевой задачи:

$$\begin{aligned} \frac{\partial \phi_{s_m}(t, Z)}{\partial t} + \frac{D_{\text{inter}_{s_m}}}{l^2} \frac{\partial^2 \phi_{s_m}}{\partial Z^2} + e_{\text{inter}_m} K_{s_m} \frac{D_{\text{intra}_{s_m}}}{R} \frac{\partial \psi_{s_m}(t, X, Z)}{\partial X} \Big|_{X=1} &= \\ &= E_{s_m}^n(t) \delta(Z - \gamma_m); \end{aligned} \quad (32)$$

$$\frac{\partial \psi_{s_m}(t, X, Z)}{\partial t} + \frac{D_{\text{intra}_{s_m}}}{R^2} \left( \frac{\partial^2}{\partial X^2} + \frac{2}{X} \frac{\partial}{\partial X} \right) \psi_{s_m} = E_{s_m}^n(t) \delta(Z - \gamma_m); \quad (33)$$

$$\phi_{s_m}(t, Z)|_{t=T} = 0; \psi_{s_m}(t, X, Z)|_{t=T} = 0 \text{ (при } t = T); \quad (34)$$

$$\frac{\partial}{\partial X} \psi_{s_m}(t, X, Z) \Big|_{X=0} = 0; \psi_{s_m}(t, X, Z)|_{X=1} = \phi_{s_m}(t, Z); \quad (35)$$

$$\phi_{s_m}(t, Z = L_m) = 0, \phi_{s_{m-1}}(t, Z = L_{m-1}) = 0; s = \overline{1, 2}, m = \overline{N+1, 2}, \quad (36)$$

$$\phi_{s_1}(t, L_1) = 0, \frac{\partial \phi_{s_1}}{\partial Z}(t, Z = 0) = 0,$$

где  $E_{s_m}^n(t) = C_{s_m}(D_{\text{intra}_{s_m}}^n, D_{\text{inter}_{s_m}}^n; t, \gamma_m) + \bar{Q}_{s_m}(D_{\text{intra}_{s_m}}^n, D_{\text{inter}_{s_m}}^n; t, \gamma_m) - M_{s_m}(t)$ .

**Определение 1.** Обобщенным решением сопряженной краевой задачи (32)–(36) является вектор-функция  $\Psi_{s_m} = (\phi_{s_m}(t, Z), \psi_{s_m}(t, X, Z)) \in H_1^0 \times H_2$ , которая  $\forall (\Delta C_{s_m}, \Delta Q_{s_m}) \in H_1^0 \times H_2$  удовлетворяет равенствам [19]:

$$\begin{aligned} & - \int_{L_{m-1}}^{L_m} \frac{\partial \phi_{s_m}}{\partial t} \Delta C_{s_m} dZ + \int_{L_{m-1}}^{L_m} \frac{D_{\text{inter}_{s_m}}}{l^2} \frac{\partial \phi_{s_m}}{\partial Z} \frac{\partial}{\partial z} \Delta C_{s_m} dZ + \\ & + e_{\text{inter}_m} K_{s_m} \frac{D_{\text{intra}_{s_m}}}{R} \int_{L_{m-1}}^{L_m} \int_0^1 \frac{\partial \Delta Q_{s_m}}{\partial X} \psi_{s_m} X dX \Big|_{X=1} dZ = E_{s_m}^n(t) \Delta C_{s_m}(t, Z), \\ & \int_0^1 \frac{\partial \psi_{s_m}}{\partial t} \Delta Q_{s_m} dX + \int_0^1 \frac{D_{\text{intra}_{s_m}}}{R^2} \frac{\partial \psi_{s_m}}{\partial X} \frac{\partial \Delta_{s_m}}{\partial X} X dX = \Delta Q_{s_m}(t, 1/2, Z) \delta(Z - \gamma_m). \end{aligned} \quad (37)$$

**Построение аналитического решения сопряженной задачи.** Для построения решения  $\phi_{s_m}$  и  $\psi_{s_m}$  сопряженной краевой задачи (32)–(36) используем операционный метод Хевисайда [11]. В предположении, что искомые функции  $\phi_{s_m}$  и  $\psi_{s_m}$  ( $\Psi_{s_m} = X \cdot \psi_{s_m}$ ) являются оригиналами по Лапласу, при замене  $t = t - T$  получим

$$\begin{aligned} & \frac{\partial^2 \phi_{s_m}^*}{\partial Z^2} + \frac{\Delta L^2}{D_{\text{inter}_{s_m}}} p \phi_{s_m}^* + \frac{3}{e_{\text{inter}_m}} \frac{\Delta L^2}{R^2} \frac{D_{\text{intra}_{s_m}}}{D_{\text{inter}_{s_m}}} \left( \frac{\partial \Psi_{s_m}^*}{\partial X} - \Psi_{s_m}^* \right) \Big|_{X=1} = \\ & = \frac{\Delta L^2}{D_{\text{inter}_{s_m}}} E_{s_m}^{n*}(p) \delta(Z - \gamma_m), \end{aligned} \quad (38)$$

$$\frac{\partial^2 \Psi_{s_m}^*}{\partial X^2} + \frac{R^2}{D_{\text{intra}_{s_m}}} p \Psi_{s_m}^* = \frac{R^2}{D_{\text{intra}_{s_m}}} E_{s_m}^{n*}(p) \delta(Z - \gamma_m) \quad (39)$$

с краевыми условиями

$$\Psi_{s_m}^*(p, X, Z)|_{X=0} = 0; \Psi_{s_m}^*(p, X, Z)|_{X=1} = \phi_{s_m}^*(p, Z), \quad (40)$$

$$\begin{aligned} & \phi_{s_m}^*(p, Z = L_m) = 0, \phi_{s_{m-1}}^*(p, Z = L_{m-1}) = 0; s = \overline{1, 2}, m = \overline{N+1, 2}, \\ & \phi_{s_1}^*(p, L_1) = 0, \frac{\partial \phi_{s_1}^*}{\partial Z}(p, Z = 0) = 0, \end{aligned} \quad (41)$$

где  $\phi_{s_m}^*(p, Z) = \int_0^\infty \phi_{s_m}(t, Z) e^{-pt} dt$ ,  $\Psi_{s_m}^*(p, X, Z) = \int_0^\infty \Psi_{s_m}(t, X, Z) e^{-pt} dt$ .

Единственное решение задачи (39), (40) построено методом Коши [9, 10] в виде

$$\Psi_{s_m}^*(p, X, Z) = \phi_{s_m}^*(p, Z) \frac{\sin(\beta X)}{\sin \beta} +$$

$$+\frac{R^2}{D_{\text{intra}_{s_m}}} \mathcal{IE}_{s_m}^*(p, X) E_{s_m}^{n*}(p) \delta(Z - \gamma_m), \quad s = \overline{1, 2}, \quad m = \overline{1, N+1}, \quad (42)$$

$$\mathcal{IE}_{s_m}^*(p, X) = -\frac{1}{\beta^2 \sin \beta} (\sin \beta X [1 - \cos \beta(1-X)] - \sin \beta(1-X) [1 - \cos \beta X]),$$

$$\beta(p) = R \sqrt{\frac{p}{D_{\text{intra}_{s_m}}}}.$$

Подставив решение (42) в уравнение (38), после преобразований получим

$$\frac{\partial^2 \phi_{s_m}^*}{\partial Z^2} + \gamma_{s_m}^2(p) \phi_{s_m}^*(p, Z) = \frac{\Delta L^2}{D_{\text{inter}_{s_m}}} E_{s_m}^{n*}(p) \delta(Z - \gamma_m), \quad (43)$$

$$\text{где } \gamma_{s_m}^2(p) = \frac{3}{e_{\text{inter}_m}} \frac{D_{\text{intra}_{s_m}}}{D_{\text{inter}_{s_m}}} \frac{\Delta L^2}{R^2} \left[ \frac{e_{\text{inter}_m}}{3} \beta^2 + \beta \operatorname{ctg} \beta - 1 \right].$$

Единственное решение задачи (40), (41), (43) построено методом Коши [9, 10]

в виде

$$\begin{aligned} \phi_{s_1}^*(p, Z) &= -\frac{\Delta L^2}{D_{\text{inter}_{s_1}}} \frac{1}{\gamma_{s_1} \cos(\gamma_{s_1} \Delta L)} [\sin \gamma_{s_1} (L_1 - h_1) \cos(\gamma_{s_1} Z) + \\ &\quad + \sin \gamma_{s_1} (L_1 - Z) \cos(\gamma_{s_1} h_1)] E_{s_1}^{n*}(p), \\ \phi_{s_m}^*(p, Z) &= -\frac{\Delta L^2}{D_{\text{inter}_{s_m}}} \frac{1}{\gamma_{s_m} \sin(\gamma_{s_m} \Delta L)} [\sin \gamma_{s_m} (Z - L_{m-1}) \sin \gamma_{s_m} (L_m - h_m) + \\ &\quad + \sin \gamma_{s_m} (h_m - L_{m-1}) \sin \gamma_{s_m} (L_m - Z)] E_{s_m}^{n*}(p), \\ h_m &= \frac{L_m - L_{m-1}}{2}, \quad s = \overline{1, 2}, \quad m = \overline{2, N+1}. \end{aligned} \quad (44)$$

**Переход к оригиналам функции  $\varphi_{s_m}(t, Z)$ .** Преобразуем выражения (44) к оригиналам [11]:

$$\phi_{s_m}(t, Z) = -\frac{\Delta L^2}{D_{\text{inter}_{s_m}}} \int_0^t \mathcal{H}_{s_m}^{\text{inter}}(t-\tau, Z) E_{s_m}^n(\tau) d\tau, \quad s = \overline{1, 2}, \quad m = \overline{1, N+1}, \quad (45)$$

$$\begin{aligned} \mathcal{H}_{s_m}^{\text{inter}}(t, Z) &= L^{-1} \left[ \frac{1}{\gamma_{s_m}(p)} \right] * L^{-1} \left[ \frac{1}{\sin(\gamma_{s_m} \Delta L)} (\sin \gamma_{s_m} (Z - L_{m-1}) \sin \gamma_{s_m} (L_m - h_m) + \right. \\ &\quad \left. + \sin \gamma_{s_m} (h_m - L_{m-1}) \sin \gamma_{s_m} (L_m - Z)) \right], \quad s = \overline{1, 2}, \quad m = \overline{2, N+1}, \end{aligned} \quad (46)$$

символ \* означает оператор свертки двух функций [11].

После последовательного использования теоремы Хевисайда в изображениях по Лапласу в (46) и интегрирования получим оригинал [11]

$$\begin{aligned} \mathcal{H}_{s_m}^{\text{inter}}(t, Z) &= \frac{4R^2}{\Delta L^2} \frac{e_{\text{inter}_m}}{3} \frac{D_{\text{inter}_{s_m}}}{D_{\text{intra}_{s_m}}} \sum_{n=0}^{\infty} \sum_{i=1}^{\infty} \sum_{k=1}^{\infty} \frac{\sqrt{\frac{e_{\text{inter}_m}}{3} + \frac{\operatorname{ctg} \tilde{\beta}_{s_{mi}}}{\tilde{\beta}_{s_{mi}}} - \frac{1}{\tilde{\beta}_{s_{mi}}^2}}}{\left[ \frac{\operatorname{ctg} \tilde{\beta}_{s_{mi}}}{\tilde{\beta}_{s_{mi}}} - \frac{1}{\sin^2 \tilde{\beta}_{s_{mi}}} + \frac{2e_{\text{inter}_m}}{3} \right]} \times \\ &\quad \times \frac{\sqrt{\left( \frac{e_{\text{inter}_m}}{3} + \frac{\operatorname{ctg} \beta_{s_{mkn}}}{\beta_{s_{mkn}}} - \frac{1}{\beta_{s_{mkn}}^2} \right) B_{s_m}(Z, \beta_{s_{mkn}})}}{\left[ \frac{\operatorname{ctg} \beta_{s_{mkn}}}{\beta_{s_{mkn}}} - \frac{1}{\sin^2 \beta_{s_{mkn}}} + \frac{2e_{\text{inter}_m}}{3} \right]} \cdot \frac{\exp\left(\frac{D_{\text{intra}_{s_m}}}{R^2} \beta_{s_{mkn}}^2 t\right) - \exp\left(\frac{D_{\text{intra}_{s_m}}}{R^2} \tilde{\beta}_{s_{mi}}^2 t\right)}{\frac{D_{\text{intra}_{s_m}}}{R^2} (\tilde{\beta}_{s_{mi}}^2 - \beta_{s_{mkn}}^2)} \\ &\quad \times \frac{(-1)^n}{\Delta L \left[ \frac{\operatorname{ctg} \beta_{s_{mkn}}}{\beta_{s_{mkn}}} - \frac{1}{\sin^2 \beta_{s_{mkn}}} + \frac{2e_{\text{inter}_m}}{3} \right]} \end{aligned}$$

Здесь  $\tilde{\beta}_{s_{m_i}}$  — корни трансцендентного уравнения  $\frac{e_{\text{inter}_1}}{3} \beta^2 - \beta \operatorname{ctg} \beta + 1 = 0$ ,  
 $p_{s_{m_i}} = \frac{D_{\text{intra}_{s_m}}}{R^2} \tilde{\beta}_{s_{m_i}}^2$ ;  $\beta_{s_{m_{kn}}}$ ,  $\beta_{s_{1_{kn}}}$  — корни соответственно трансцендентных  
уравнений

$$\begin{aligned} \frac{e_{\text{inter}_m}}{3} \beta^2 - \beta \operatorname{ctg} \beta + \left( 1 - \frac{e_{\text{inter}_m} \Delta L^2}{R^2} \frac{D_{\text{intra}_{s_m}}}{D_{\text{inter}_{s_m}}} \frac{n}{\Delta L} \pi \right) &= 0, \quad n = \overline{0, \infty}, \quad m = \overline{2, N+1}, \\ \frac{e_{\text{inter}_1}}{3} \beta^2 - \beta \operatorname{ctg} \beta + \left( 1 - \frac{e_{\text{inter}_1} \Delta L^2}{R^2} \frac{D_{\text{intra}_{s_1}}}{D_{\text{inter}_{s_1}}} \frac{2n-1}{2\Delta L} \pi \right) &= 0, \quad n = \overline{1, \infty}, \end{aligned}$$

$$B_{s_m}(Z, \beta_{s_{m_{kn}}}) = \sin \gamma_{s_m}(Z - L_{m-1}) \sin \gamma_{s_m}(L_m - h_m) + \sin \gamma_{s_m}(h_m - L_{m-1}) \sin \gamma_{s_m}(L_m - Z).$$

**Переход к оригиналам функции  $\Psi_{s_m}(t, X, Z)$ .** Оригинал  $\Psi_{s_m}(t, X, Z)$  согласно теореме Хевисайда о разложении [11, 10] вычисляем в виде

$$\begin{aligned} \Psi_{s_m}(t, X, Z) &= -\frac{\Delta L^2}{D_{\text{inter}_{s_m}}} \int_0^t (\mathcal{H}_{s_m}^{\text{intra}}(t-\tau, X, Z) + \mathcal{IE}_{s_m}(t-\tau, X) \delta(Z - \gamma_m)) E_{s_m}^n(\tau) d\tau, \\ s &= \overline{1, 2}, \quad m = \overline{1, N+1}, \\ \mathcal{IE}_{s_m}(t, X) &= L^{-1}[\mathcal{IE}_{s_m}^*(p, X)] = -\frac{D_{\text{intra}_m}}{R^2} \left[ 1 + \sum_{i=1}^{\infty} (-1)^i (\sin \bar{\beta}_{s_{m_i}} X [1 - \cos \bar{\beta}_{s_{m_i}} (1-X)] - \right. \\ &\quad \left. - \sin \bar{\beta}_{s_{m_i}} (1-X) [1 - \cos \bar{\beta}_{s_{m_i}} X]) \exp(\bar{\beta}_{s_{m_i}}^2) \right], \\ \mathcal{H}_{s_m}^{\text{intra}}(t, Z) &= \frac{4R^2}{\Delta L^2} \frac{e_{\text{inter}_m}}{3} \frac{D_{\text{inter}_{s_m}}}{D_{\text{intra}_{s_m}}} \sum_{n=0}^{\infty} \sum_{i=1}^{\infty} \sum_{k=1}^{\infty} \frac{\sqrt{\frac{e_{\text{inter}_m}}{3} + \frac{\operatorname{ctg} \bar{\beta}_{s_{m_i}}}{\bar{\beta}_{s_{m_i}}} - \frac{1}{\bar{\beta}_{s_{m_i}}^2}}}{\left[ \frac{\operatorname{ctg} \bar{\beta}_{s_{m_i}}}{\bar{\beta}_{s_{m_k}}} - \frac{1}{\sin^2 \bar{\beta}_{s_{m_i}}} + \frac{2e_{\text{inter}_m}}{3} \right]} \times \\ &\quad \times \frac{\sqrt{\left( \frac{e_{\text{inter}_m}}{3} + \frac{\operatorname{ctg} \beta_{s_{m_{kn}}}}{\beta_{s_{m_{kn}}}} - \frac{1}{\beta_{s_{m_{kn}}}} \right)} B_{s_m}(Z, \beta_{s_{m_{kn}}}) \sin(\beta_{s_{m_{kn}}} X)}{\Delta L \left[ \frac{\operatorname{ctg} \beta_{s_{m_{kn}}}}{\beta_{s_{m_{kn}}}} - \frac{1}{\sin^2 \beta_{s_{m_{kn}}}} + \frac{2e_{\text{inter}_m}}{3} \right] (-1)^n} \times \\ &\quad \times \frac{\exp\left(\frac{D_{\text{intra}_{s_m}}}{R^2} \beta_{s_{m_{kn}}}^2 t\right) - \exp\left(\frac{D_{\text{intra}_{s_m}}}{R^2} \tilde{\beta}_{s_{m_i}}^2 t\right)}{\frac{D_{\text{intra}_{s_m}}}{R^2} (\tilde{\beta}_{s_{m_i}}^2 - \beta_{s_{m_{kn}}}^2)}. \end{aligned}$$

**Установление взаимосвязи между решениями прямой и сопряженной задачами.** Запишем основные уравнения краевой задачи в приращениях (25)–(28) и сопряженной краевой задачи (32)–(36) в операторной форме:

$$\begin{aligned} \mathcal{L}w_{s_m}(t, X, Z) &= X_{s_m}, \quad w_{s_m} \in (0, 1) \cup \Omega_{m_T}, \quad m = \overline{1, n+1}, \\ \mathcal{L}^* \Psi_{s_m}(t, X, Z) &= E_{s_m}(t) \delta(Z - \gamma_m), \quad \Psi_{s_m} \in (0, 1) \cup \Omega_{m_T}, \quad m = \overline{1, n+1}. \end{aligned}$$

Здесь

$$\begin{aligned}\mathcal{L} &= \begin{bmatrix} \frac{\partial}{\partial t} - \frac{\partial}{\partial Z} \left( D_{\text{inter}_{s_m}} \frac{\partial}{\partial Z} \right) & e_{\text{inter}_m} \frac{D_{\text{intra}_{s_m}}}{R} \frac{\partial}{\partial X} \Big|_{X=1} \\ 0 & \frac{\partial}{\partial t} - \frac{D_{\text{intra}_{s_m}}}{R^2} \left( \frac{\partial^2}{\partial X^2} + \frac{2}{X} \frac{\partial}{\partial X} \right) \end{bmatrix}, \\ \mathcal{L}^* &= \begin{bmatrix} \frac{\partial}{\partial t} + \frac{\partial}{\partial Z} \left( D_{\text{inter}_{s_m}} \frac{\partial}{\partial Z} \right) & e_{\text{inter}_m} \frac{D_{\text{intra}_{s_m}}}{R} \frac{\partial}{\partial X} \Big|_{X=1} \\ 0 & \frac{\partial}{\partial t} + \frac{D_{\text{intra}_{s_m}}}{R^2} \left( \frac{\partial^2}{\partial X^2} + \frac{2}{X} \frac{\partial}{\partial X} \right) \end{bmatrix}, \\ w_{s_m}(t, X, Z) &= \begin{bmatrix} \Delta C_{s_m}(t, Z) \\ \Delta Q_{s_m}(t, X, Z) \end{bmatrix}, \quad \Psi_{s_m}(t, X, Z) = \begin{bmatrix} \phi_{s_m}(t, Z) \\ \psi_{s_m}(t, X, Z) \end{bmatrix}, \\ X_{s_m}(t, X, Z) &= \begin{bmatrix} \frac{\partial}{\partial Z} \left( \Delta D_{\text{inter}_{s_m}} \frac{\partial}{\partial Z} C_{s_m} \right) - e_{\text{inter}_m} \frac{\Delta D_{\text{intra}_{s_m}}}{R} \frac{\partial}{\partial X} Q_{s_m}(t, X, Z) \Big|_{X=1} \\ \frac{D_{\text{intra}_{s_m}}}{R^2} \left( \frac{\partial^2}{\partial X^2} + \frac{2}{X} \frac{\partial}{\partial X} \right) Q_{s_m}(t, X, Z) \end{bmatrix}, \quad (47)\end{aligned}$$

где  $\mathcal{L}^*$  — оператор, сопряженный с исходным оператором  $\mathcal{L}$ .

**Определение скалярного произведения.** Рассматривая  $\mathcal{L}$  как оператор, отображающий  $\Omega_{m_T}$  в пространство  $L_2$ ; для элементов  $\mathcal{L}w, \Psi \in L_2$  определим скалярное произведение

$$(\mathcal{L}w_{s_m}(t, X, Z), \Psi_{s_m}(t, X, Z)) =$$

$$= \left[ \iint_{\Omega_{m_T}} \mathcal{L} \Delta C_{s_m}(t, Z) \phi_{s_m}(t, Z) dZ dt + \iiint_{(0, R) \cup \Omega_{m_T}} \mathcal{L} \Delta Q_{s_m}(t, X, Z) \psi_{s_m}(t, X, Z) X dX dZ dt \right], \quad (48)$$

где  $\phi_{s_m}(t, Z)$  и  $\psi_{s_m}(t, X, Z)$  принадлежат  $\overline{\Omega}_{m_T}$  и  $[0, R] \cup \overline{\Omega}_{m_T}$  соответственно.

Для скалярного произведения (48) имеет место тождество Лагранжа [19, 14]

$$(\mathcal{L}w_{s_m}(t, X, Z), \Psi_{s_m}(t, X, Z)) = (w_{s_m}(t, X, Z), \mathcal{L}^* \Psi_{s_m}(t, X, Z)). \quad (49)$$

Преобразовав приращение функционала-невязки в виде

$$\begin{aligned}\Delta J_s(D_{\text{inter}_{s_p}}, D_{\text{intra}_{s_p}}) &= \int_0^T \int_{L_{m-1}}^{L_m} E_{s_m}(t) \Delta C_{s_m} \delta(Z - \gamma_m) dZ dt + \\ &+ \int_0^T \int_{L_{m-1}}^{L_m} \int_0^1 E_{s_m}(t) \Delta Q_{s_m} \delta(Z - \gamma_m) X dX dZ dt + O(\max |\Delta C_{s_m}, \Delta Q_{s_m}|)\end{aligned}$$

и используя замену  $w_{s_m} = \mathcal{L}^{-1} X_{s_m}$ , где  $\mathcal{L}^{-1}$  — оператор, обратный оператору  $\mathcal{L}$ , получим

$$\begin{aligned}\Delta J_s(D_{\text{intra}_{s_p}}, D_{\text{inter}_{s_p}}) &= \int_0^T \int_{L_{m-1}}^{L_m} \mathcal{L}^{-1} X_{s_{m1}}(t, Z) E_{s_m}(t) \delta(Z - \gamma_m) dZ dt + \\ &+ \int_0^T \int_{L_{m-1}}^{L_m} \int_0^1 \mathcal{L}^{-1} X_{s_{m2}}(t, X, Z) E_{s_m}(t) \delta(Z - \gamma_m) X dX dZ dt + O(\max |\Delta C_{s_m}, \Delta Q_{s_m}|). \quad (50)\end{aligned}$$

Пренебрегая в (50) бесконечно малыми величинами второго порядка, с учетом (49) и равенства  $\mathcal{L}^{-1*}[E_{s_m}(t)\delta(Z-\gamma_m)] = \Psi_{s_m}$  получим приращение функционала-невязки, выраженное через решение сопряженной задачи, и вектор уравнений правых частей (47) задачи (25)–(28):

$$\begin{aligned}\Delta J_s(D_{\text{inter}_{s_m}}, D_{\text{intra}_{s_m}}) &= \\ &= (\mathbf{X}_{s_m}(t, X, Z), \mathcal{L}^{-1*}[E_{s_m}(t)\delta(Z-\gamma_m)]) = (\Psi_{s_m}(t, X, Z), \mathbf{X}_{s_m}(t, X, Z)),\end{aligned}\quad (51)$$

где  $\mathcal{L}^{-1*}$  — оператор, сопряженный обратному оператору  $\mathcal{L}^{-1}$ ,  $\Psi_{s_m}$  — вектор решений сопряженной задачи (32)–(36).

**Получение аналитических выражений компонентов градиентов функционала-невязки.** Раскрывая в уравнении (51) компоненты  $\mathbf{X}_{s_m}(t, X, Z)$ , с учетом равенства (47) получим важную формулу, определяющую взаимосвязь между прямой и сопряженной задачами (5)–(10) и (32)–(36), что в итоге дает возможность получить явные аналитические выражения градиентов функционала-невязки:

$$\begin{aligned}\Delta J_s(D_{\text{intra}_{s_p}}, D_{\text{inter}_{s_p}}) &= \\ &= \left( \varphi_{s_m}(t, Z), \frac{\partial}{\partial Z} \left( \Delta D_{\text{inter}_{s_m}} \frac{\partial}{\partial Z} C_{s_m} \right) - e_{\text{inter}_m} \frac{\Delta D_{\text{intra}_{s_m}}}{R} \frac{\partial}{\partial X} Q_{s_m}(t, X, Z) \Big|_{X=1} \right) + \\ &\quad + \left( \psi_{s_m}(t, X, Z), \frac{\Delta D_{\text{intra}_{s_m}}}{R^2} \left( \frac{\partial^2}{\partial X^2} + \frac{2}{X} \frac{\partial}{\partial X} \right) Q_{s_m}(t, X, Z) \right).\end{aligned}\quad (52)$$

Продифференцировав выражения (52) соответственно по  $\Delta D_{\text{intra}_{s_m}}$  и  $\Delta D_{\text{inter}_{s_m}}$  и раскрыв скалярные произведения, получим искомые аналитические выражения градиентов функционала-невязки по необходимым компонентам коэффициентов компетитивной диффузии как функций от времени во внутрикристаллитном и межкристаллитном пространствах соответственно:

$$\begin{aligned}\nabla J_{D_{\text{intra}_{s_m}}}(t) &= -\frac{e_{\text{inter}_m}}{R} \int_{L_{m-1}}^{L_m} \frac{\partial}{\partial X} Q_{s_m}(t, 1, Z) \phi_{s_m}(t, Z) dZ + \\ &\quad + \frac{1}{R^2} \int_{L_{m-1}}^{L_m} \int_0^1 \left( \frac{\partial^2}{\partial X^2} + \frac{2}{X} \frac{\partial}{\partial X} \right) Q_{s_m}(t, X, Z) \psi_{s_m}(t, X, Z) X dX dZ,\end{aligned}\quad (53)$$

$$\nabla J_{D_{\text{inter}_{s_m}}}(t) = \int_{L_{m-1}}^{L_m} \frac{\partial^2 C_{s_m}(t, Z)}{\partial Z^2} \phi_{s_m}(t, Z) dZ.\quad (54)$$

Используя обобщенное решение сопряженной краевой задачи (42)–(46), выраженное формулами (37), получаем эквивалентные к (53), (54) выражения градиентов

$$\begin{aligned}\nabla J_{D_{\text{intra}_{s_m}}}(t) &= -\frac{e_{\text{inter}_m}}{R} \int_{L_{m-1}}^{L_m} \frac{\partial Q_{s_m}(t, 1, Z)}{\partial X} \phi_{s_m}(t, Z) dZ - \\ &\quad - \frac{1}{R^2} \int_{L_{m-1}}^{L_m} \int_0^1 \frac{\partial Q_{s_m}(t, X, Z)}{\partial X} \frac{\partial \psi_{s_m}(t, X, Z)}{\partial X} X dX dZ, \\ \nabla J_{D_{\text{inter}_{s_m}}}(t) &= - \int_{L_{m-1}}^{L_m} \frac{\partial C_{s_m}(t, Z)}{\partial Z} \frac{\partial \phi_{s_m}(t, Z)}{\partial Z} dZ.\end{aligned}$$

## ИДЕНТИФИКАЦИЯ ПАРАМЕТРОВ, ЧИСЛЕННОЕ МОДЕЛИРОВАНИЕ И АНАЛИЗ

**Восстановленные профили коэффициентов диффузии.** На рис. 2 представлены идентифицированные согласно формулам идентификации (9) по данным NMR-спектроскопии [6] распределения коэффициентов компетитивной диффузии бензола и гексана как функции от времени для пяти координационных позиций толщины 6, 8, 10, 12, 14 мм. Кривые коэффициентов диффузии  $D_{\text{intra}}$  (рис. 2, а) имеют псевдоэкспоненциальный характер и изменяются в диапазоне от  $9.0 \cdot 10^{-13}$  до  $1.0 \cdot 10^{-14}$  (для бензола) и от  $9.0 \cdot 10^{-11}$  до  $2.0 \cdot 10^{-12}$  (для гексана). Для времени диффузии больше 125–150 мин наблюдается относительно стабильная картина массопереноса, сопровождающаяся плавным приближением профилей коэффициентов диффузии  $D_{\text{intra}}$  к значениям, соответствующим положению их равновесия.

Функции распределения коэффициентов диффузии  $D_{\text{inter}}$  (рис. 2, б) для бензола имеют более пологий вид и изменяются в диапазоне от  $6.0 \cdot 10^{-6}$  до  $1.0 \cdot 10^{-6}$ . Для времени диффузии больше 125–150 мин имеем незначительное изменение значений коэффициентов диффузии  $D_{\text{inter}}$ , для всех положений толщины слоя наблюдается их приближение к равновесию. Идентифицированные распределения коэффициентов компетитивной диффузии  $D_{\text{inter}}$  для гексана (см. рис. 2, б) как функций времени для тех же позиций координаты толщины 6, 8, 10, 12, 14 мм изменяются во времени в диапазоне от  $2.7 \cdot 10^{-5}$  до  $1.0 \cdot 10^{-5}$ . Начиная с диффузионного времени 75–90 мин наблюдается процесс достижения равновесия.

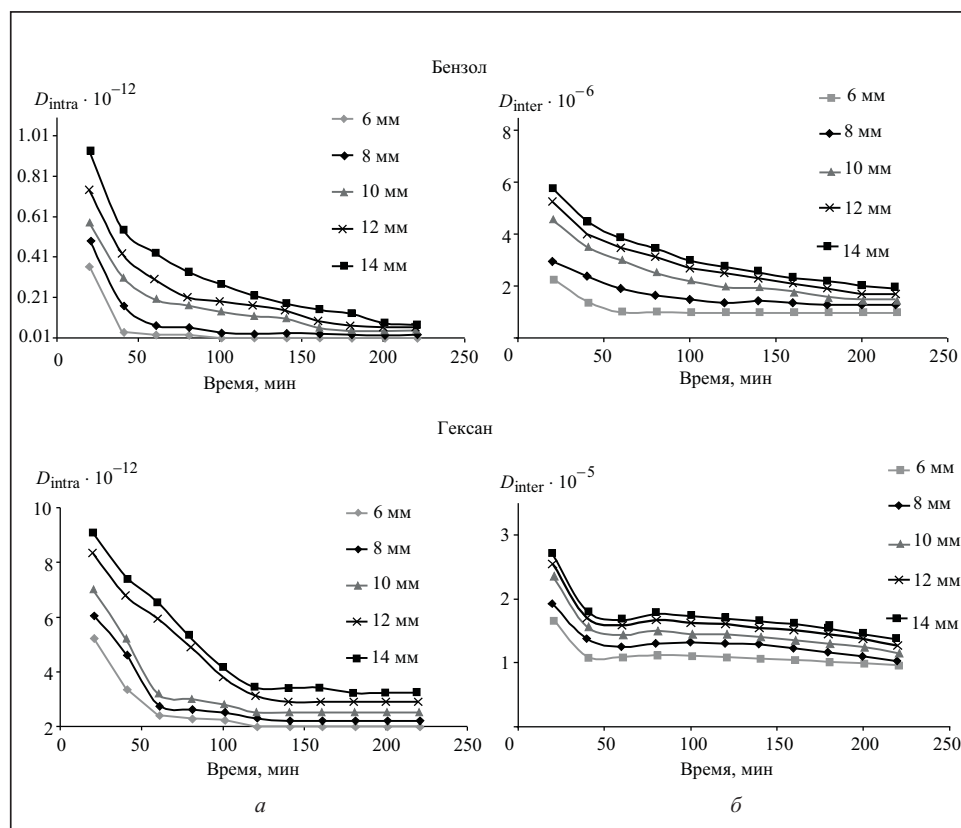


Рис. 2. Профили коэффициентов диффузии  $D_{\text{intra}}$  во внутрикристаллитном пространстве (а) и  $D_{\text{inter}}$  в межкристаллитном пространстве (б) в зависимости от времени и различных положений относительно толщины каталитического ложа

### Концентрации и градиенты концентраций в микро- и нанопорах частиц.

На рис. 3 графически представлены результаты моделирования кривых концентрации бензола и гексана в макропорах межкристаллитного пространства, построенных по результатам идентификации коэффициентов диффузии (см. рис. 2). Анализируя соответствующие кривые коэффициентов диффузии и распределения концентраций во времени и вдоль толщины слоя в межкристаллитном пространстве, можно заметить на одинаковых временных интервалах подобные характерные признаки достижения равновесия как относительно распределения коэффициентов диффузии, так и относительно концентраций.

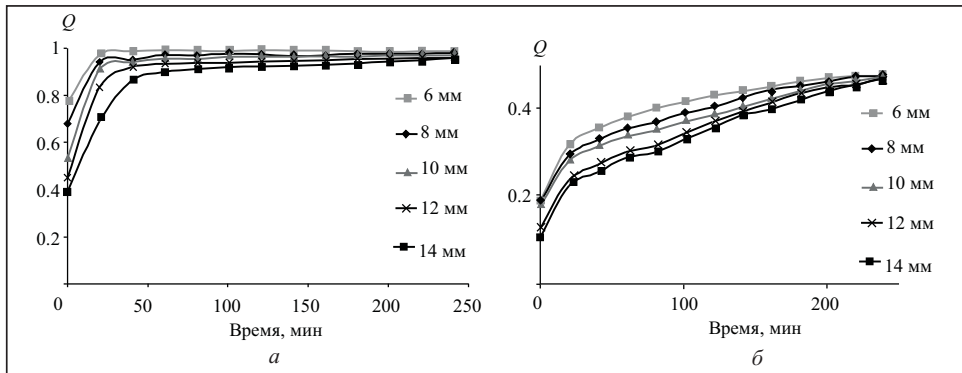


Рис. 3. Распределение градиентов концентраций диффузии ( $Q$ ) в межкристаллитном пространстве в зависимости от времени и различных позиций каталитического слоя для бензола (а) и гексана (б)

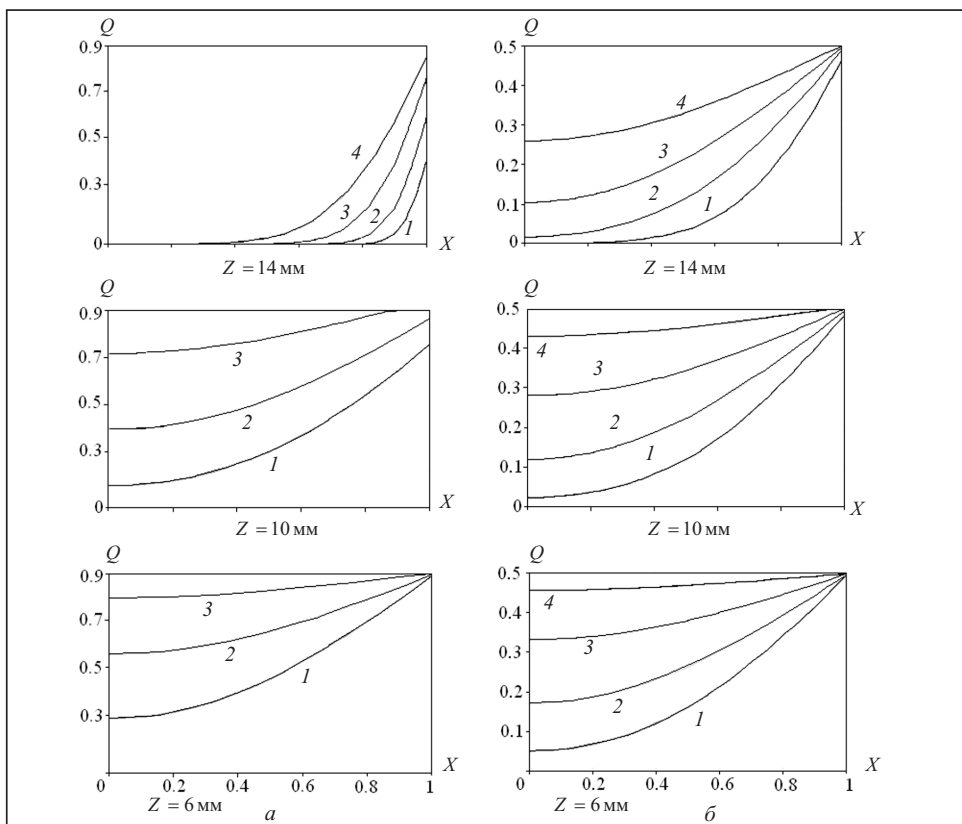


Рис. 4. Распределение градиентов концентраций диффузии ( $Q$ ) вдоль радиуса частицы ( $X$ ) во внутрикристаллитном пространстве при различных значениях времени для бензола (а) и гексана (б):  $t = 25 \text{ мин}$  (1),  $t = 50 \text{ мин}$  (2),  $t = 100 \text{ мин}$  (3),  $t = 200 \text{ мин}$  (4); 0 — центр частицы, 1 — поверхность частицы

Графики на рис. 4 демонстрируют изменение градиентов концентрации поглощенных компонентов адсорбата (бензола и гексана) в микро- и нанопорах внутрекристаллитного пространства вдоль радиуса частицы (кристаллита). На рис. 4, *a* показано изменение градиентов концентрации вдоль радиуса кристаллита для бензола во внутрекристаллитном пространстве для пяти координатных позиций толщины 6, 8, 10, 12 и 14 мм для следующих диффузионных периодов: 25, 50, 100, 200 мин. Как следует из графиков, значительные градиенты концентраций имеют место для частиц, размещенных в выходных слоях 6 мм и 8 мм, значения которых на финальной стадии диффузии достигают в центре кристаллитов 0.8 и 0.9 единиц. Для входных слоев наблюдается иная картина насыщения: 0.4–0.5 данных градиента концентрации.

На рис. 4, *b* показано изменение градиентов концентрации вдоль радиуса кристаллита для гексана во внутрекристаллитном пространстве для пяти координатных позиций толщины 6, 10, и 14 мм для тех же диффузионных периодов. Здесь наблюдается меньшая степень поглощения. Для частиц, размещенных в выходных слоях (6 мм), значения концентраций на финальной стадии диффузии достигают 0.3–0.1 единиц (в центре кристаллитов).

## ЗАКЛЮЧЕНИЕ

В настоящей статье реализованы модели идентификации параметров компетитивной диффузии в неоднородных средах нанопористых частиц при обосновании постановок и разрешимости прямой и сопряженной краевых задач. Операционным методом Хевисайда получены их точные аналитические решения. Исходя из теории оптимального управления состоянием многокомпонентных систем и указанных высокоскоростных аналитических решений прямых и сопряженных задач получены явные градиенты функционалов-невязок для идентификации параметров нанопористых сред с наблюдениями за суммарными концентрациями сорбируемых смесей. Реализованы на этой основе высокопродуктивные градиентные процедуры идентификации коэффициентов диффузии в пространствах макро- и микропор частиц, обеспечивающие высокую степень распараллеливания вычислений и существенно сокращающие количество итераций на каждом регуляризационном цикле идентификации. Восстановлены зависимости коэффициентов диффузии в межкристаллитном и внутрекристаллитном пространствах, как функций от времени для различных положений частиц вдоль слоя катализатора, на основе которых построены распределения концентраций диффундируемых компонент в указанных пространствах.

Светлой памяти академика НАН Украины Василия Степановича Дейнеки посвящается настоящая статья.

## СПИСОК ЛИТЕРАТУРЫ

1. Fernandez M., Kärger J., Freude D., Pampel D., Van Baten J.M., Krishna R. Mixture diffusion in zeolites studied by MAS PFG NMR and molecular simulation // Microporous and Mesoporous Materials. — 2007. — **105**. — P. 124–131.
2. Kärger J., Grinberg F., Heitjans P. Diffusion fundamentals. — Leipzig: Leipziger Universite, 2005. — 615 p.
3. Petryk M., Leclerc S., Canet D., Fraissard J. Modeling of gas transport in a microporous solid using a slice selection procedure: Application to the diffusion of benzene in ZSM5 // Catalysis Today. — 2008 — **139**, N 3. — P. 234–240.

4. Leclerc S., Petryk M., Canet D., Fraissard J. Competitive diffusion of gases in a zeolite using proton NMR and slice selection procedure // Catalysis Today. — 2012. — **187**, N 1. — P. 104–107.
5. Petryk M., Leclerc S., Canet D., Fraissard J. Mathematical modeling and visualization of gas transport in a zeolite bed using a slice selection procedure // Diffusion Fundamentals. — 2007. — **4**. — P. 11.1–11.23.
6. Дайнека В.С., Петрик М.Р., Фрессард Ж. Идентификация кинетических параметров массопереноса в многокомпонентных системах компетитивной диффузии в неоднородных нанопористых средах // Кибернетика и системный анализ. — 2011. — № 5. — С. 46–64.
7. Петрик М.Р. Математическое моделирование массопереноса в симметрических неоднородных и нанопористых средах с системой *n*-интерфейсных взаимодействий // Кибернетика и системный анализ. — 2007. — № 1. — С. 114–134.
8. Sergienko I.V., Deineka V.S. Optimal control of distributed systems with conjugation conditions. — New York: Kluwer Academic Publishers, 2005. — 400 p.
9. Степанов В.В. Курс дифференциальных уравнений. — М.: Физматлит, 1959. — 468 с.
10. Ленюк М.П., Петрик М.Р. Інтегральні перетворення Фур’є, Бесселя із спектральним параметром в задачах математичного моделювання масопереносу в неоднорідних і нанопористих середовищах. — К.: Наук. думка, 2000. — 372 с.
11. Лаврентьев М.А., Шабат Б.В. Методы теории функций комплексного переменного. — М.: Наука, 1973. — 736 с.
12. Тихонов А.Н., Арсенин В.Я. Методы решения некорректных задач. — М.: Наука, 1979. — 288 с.
13. Lions J.-L. Perturbations singulieres dans les problemes aux limites et en controle optimal // Lecture Notes in Math. Ser. — New York: Springer, 2008. — 645 p.
14. Алифанов О.М. Обратные задачи теплообмена. — М.: Машиностроение, 1988. — 280 с.
15. Дайнека В.С. Идентификация параметров задач массопереноса в нанопористых средах при известных суммарных распределениях массы // Доповіді НАН України. — 2013. — № 4. — С. 26–32.
16. Дайнека В.С., Петрик М.Р., Михалик Д.М. Идентификация кинетических параметров однокомпонентного адсорбционного массопереноса в микропористых каталитических средах // Проблемы управления и информатики. — 2011. — № 2. — С. 12–25.
17. Петрик М.Р., Фрессард Ж. Математическое моделирование нелинейной компетитивной двухкомпонентной диффузии в среде нанопористых частиц // Проблемы управления и информатики. — 2009. — № 2. — С. 48–65.
18. Сергиенко И.В., Дайнека В.С. Идентификация градиентными методами параметров задач диффузии вещества в нанопористой среде // Проблемы управления и информатики. — 2010. — № 6. — С. 5–18.
19. Сергиенко И.В., Дайнека В.С. Системный анализ многокомпонентных распределенных систем. — Киев: Наук. думка, 2009. — 638 с.

Поступила 01.12.2014